

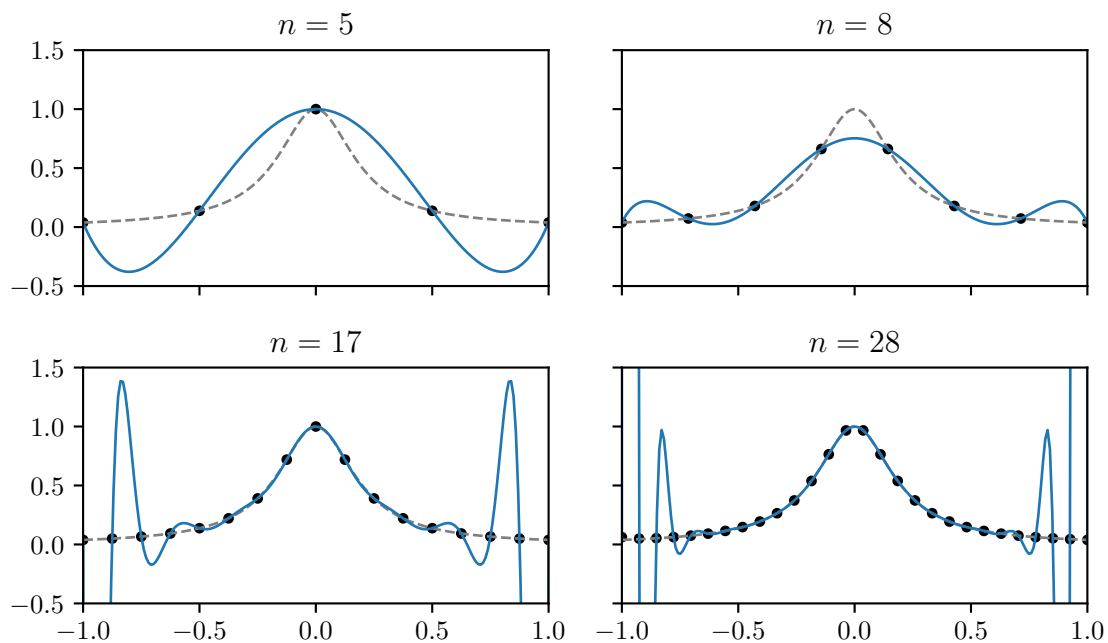
# Raport - Zadanie numeryczne 5

Grzegorz Janysek

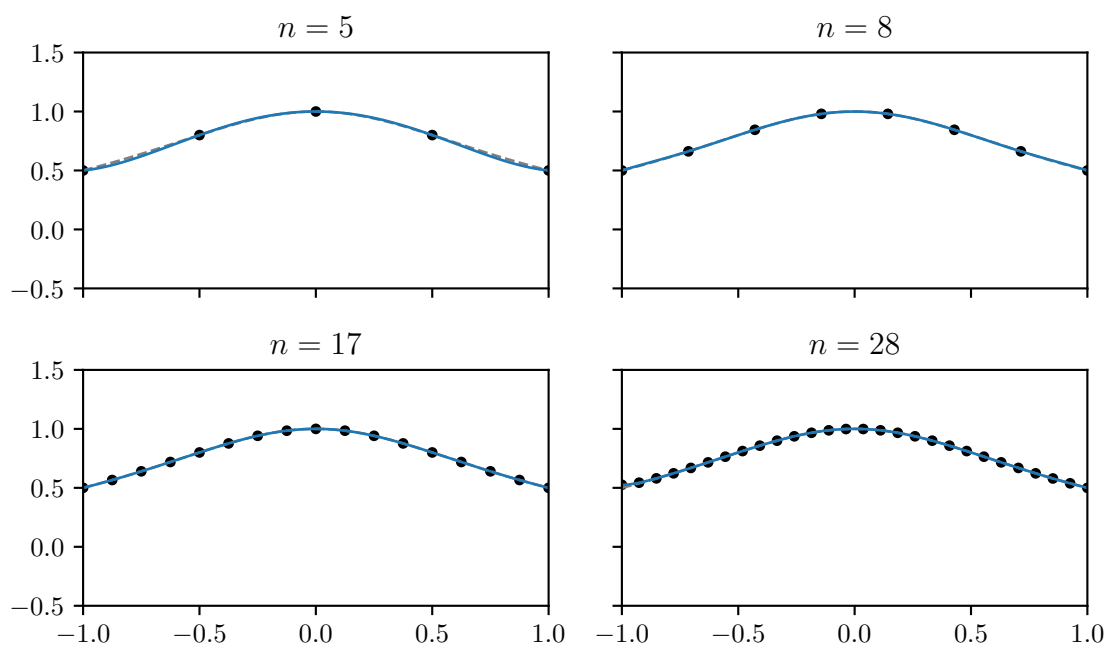
20 grudnia 2021

## 1 Wstęp teoretyczny

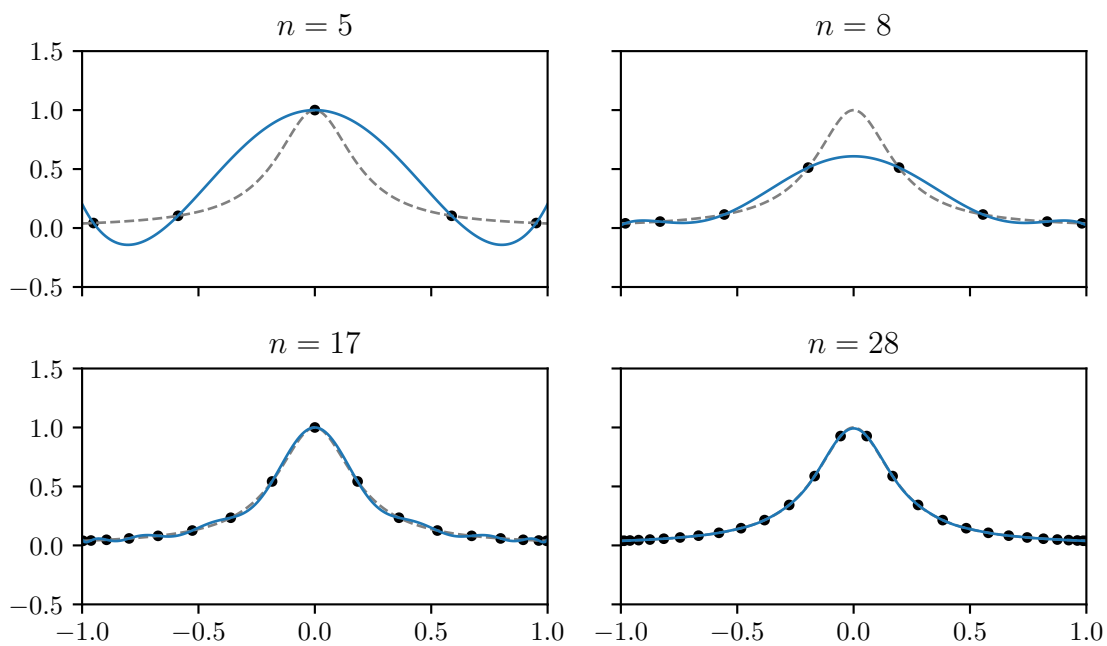
## 2 Wyniki



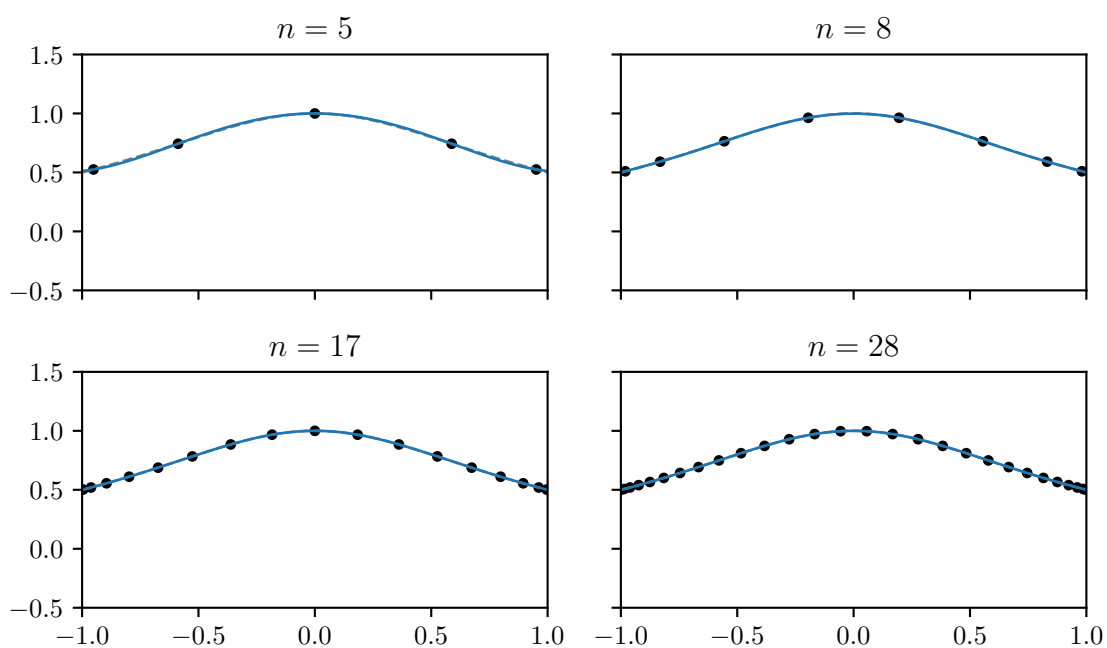
Rysunek 1: Interpolacja wielomianowa funkcji  $y(x) = \frac{1}{1+25x^2}$  dla jednorodnej dystrybucji  $n$  węzłów interpolacyjnych.



Rysunek 2: Interpolacja wielomianowa funkcji  $\tilde{y}(x) = \frac{1}{1+x^2}$  dla jednorodnej dystrybucji  $n$  węzłów interpolacyjnych.



Rysunek 3: Interpolacja wielomianowa funkcji  $y(x) = \frac{1}{1+25x^2}$  dla kosinusoidalnej dystrybucji  $n$  węzłów interpolacyjnych.



Rysunek 4: Interpolacja wielomianowa funkcji  $\tilde{y}(x) = \frac{1}{1+x^2}$  dla kosinusoidalnej dystrybucji  $n$  węzłów interpolacyjnych.

Na rys. od 1 do 4 przedstawione są wyniki interpolacji funkcji  $y$  i  $\tilde{y}$

$$y(x) = \frac{1}{1 + 25x^2} \quad (1)$$

$$\tilde{y}(x) = \frac{1}{1 + x^2} \quad (2)$$

w zależności od doboru węzłów interpolacji  $x_i$ , tj. ich ilości  $n$  i rodzaju dystrybucji.

$$x_i = \frac{2i}{n+1} - 1 \quad i = (0, 1, \dots, n) \quad \text{dystrybucja jednorodna} \quad (3)$$

$$x_i = \cos\left(\frac{2i+1}{2n+2}\pi\right) \quad i = (0, 1, \dots, n) \quad \text{dystrybucja kosinusoidalna} \quad (4)$$

Porównując rys. 1 i 2 można zauważyć że obecność oscylacji Rungego jest silnie zależna nie tylko od ilości węzłów interpolacji ale również od interpolowanej funkcji. W przypadku  $y$  i dystrybucji jednorodnej (rys. 1) oscylacje zwiększają się wraz z  $n$ , oraz są widoczne dla każdego zbadanego  $n$ . Algorytm interpolacji sprawdził znacząco lepiej dla  $\tilde{y}$ , funkcja jest odwzorowana dokładniej już dla małego  $n$ , a oscylacje Rungego nie są zauważalne.

Zauważalną poprawę może dać odpowiedni dobór węzłów interpolacji. Analizując rys. 3 i 4 widać że zagęszczenie dystrybucji węzłów przy końcach przedziału interpolacji znacząco zmniejszyło oscylacje dla funkcji  $y$ , oraz nie pogorszyło interpolacji  $\tilde{y}$ .

### 3 Podsumowanie